

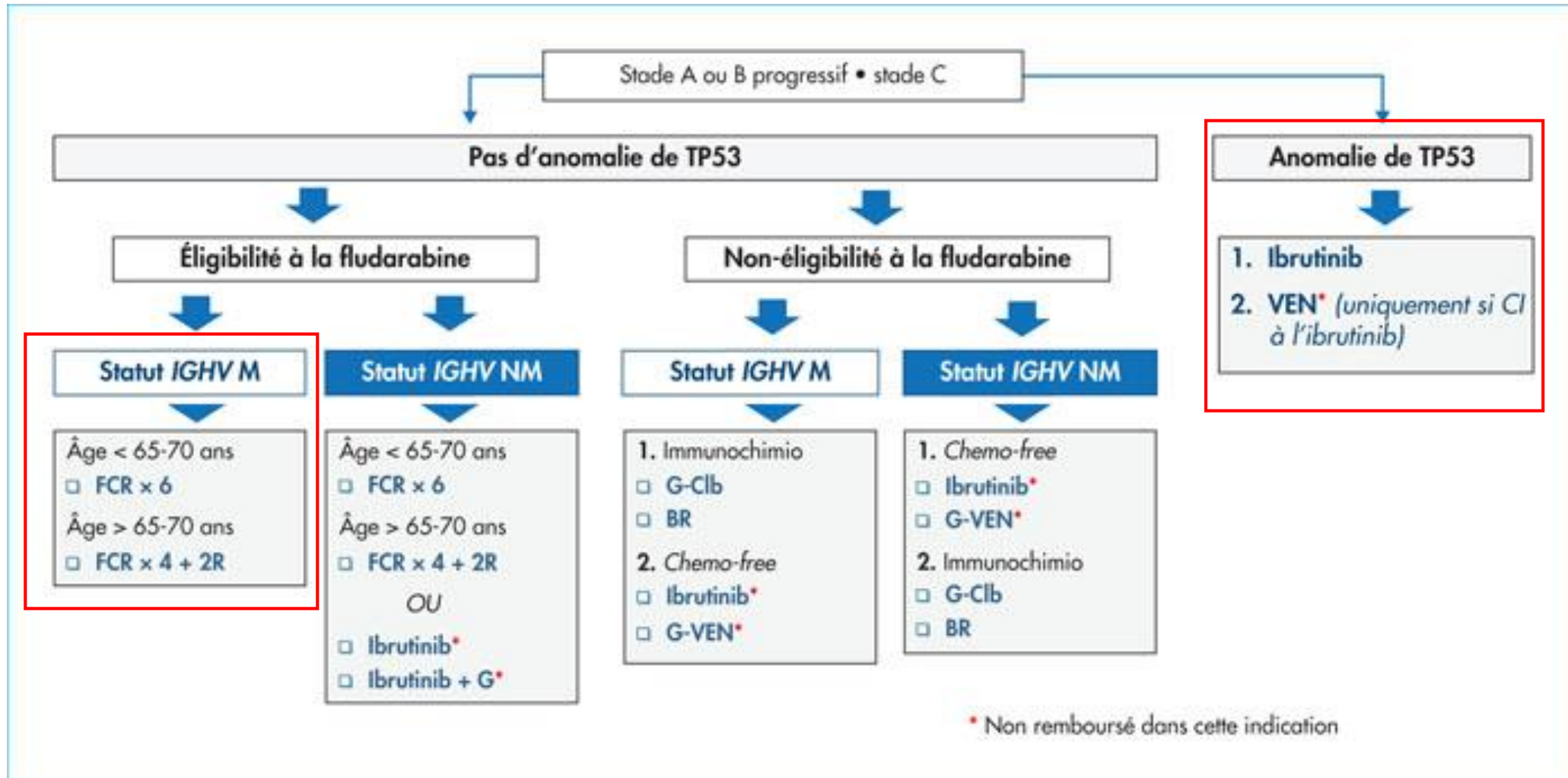
Anomalies de *TP53* dans la LLC Base de données GBMHM/FILO



Fanny Baran-Marszak

Algorithme de prise en charge de la LLC en première ligne

Marqueur prédictif

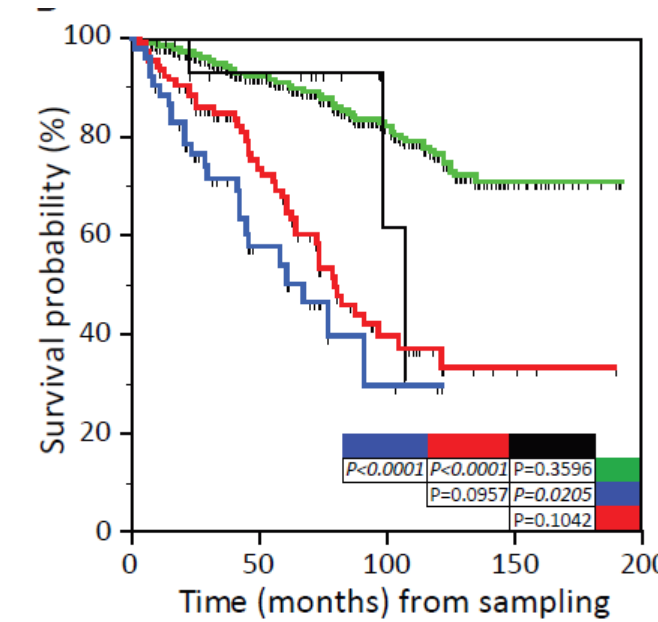
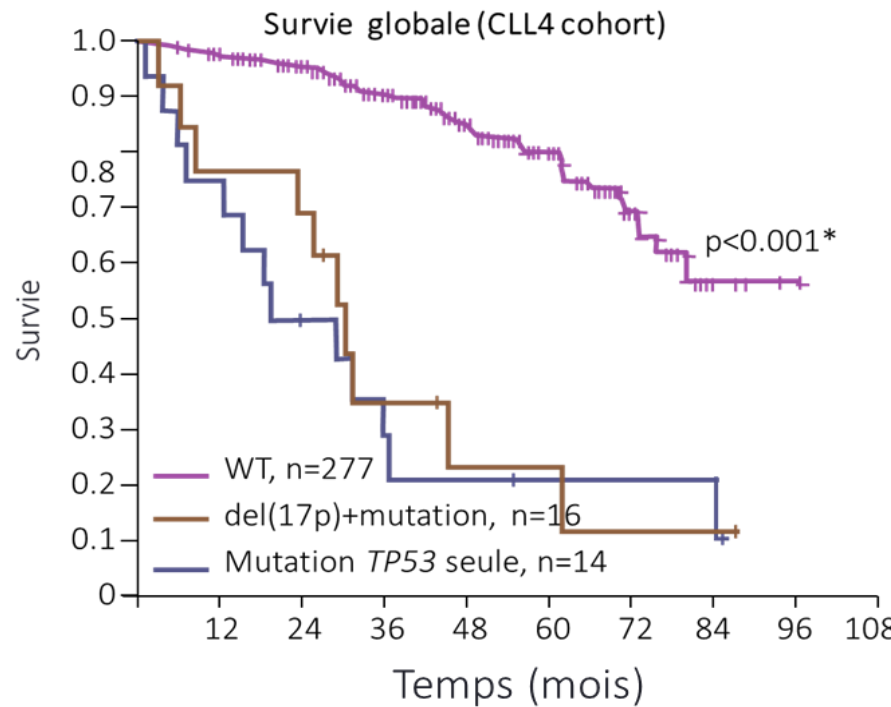


Qu'entend-on par anomalies de *TP53*?

Toutes les anomalies ont-elles le même impact?

- Délétion/mutation/les 2
- Mutation faux sens/non sens/épissage/indel avec décalage de lecture
- Charge mutationnelle ($VAF > 10\%$; $VAF < 10\%$; $VAF < 1\%$)
- Mutations uniques/multiples

Mutation seule / mutation +délétion même impact pronostique

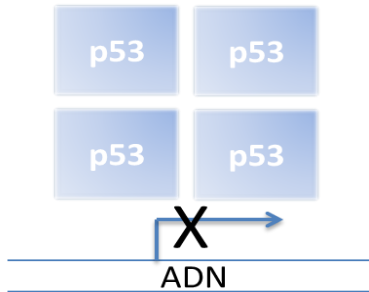
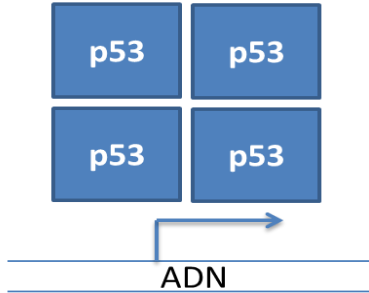


Zenz T, et al. J Clin Oncol 2010

Bomben et al, CCR 2021

Type de mutation

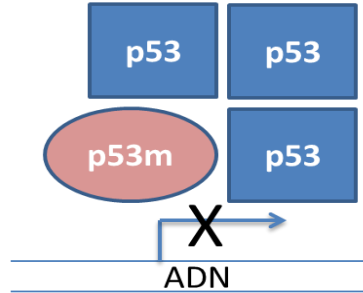
Supresseur de tumeur



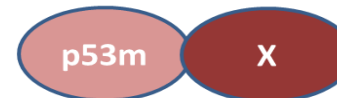
Del(17p)
Mutation décalage de lecture
Mutation stop
Mutation de site de splicing

Mutations dites « null »
Perte d'expression

Effet dominant négatif



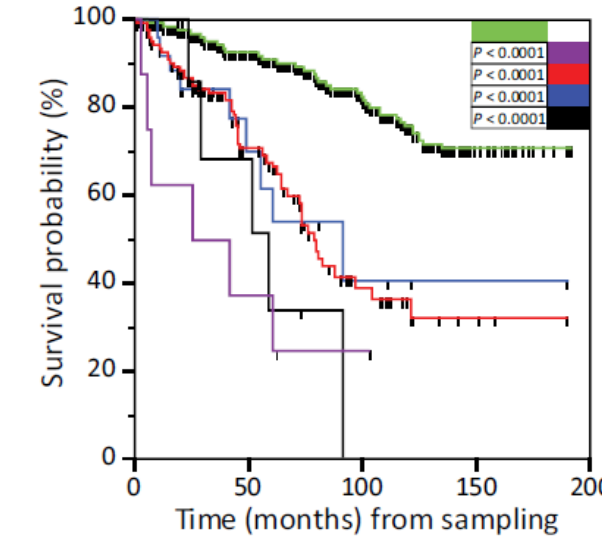
Effet Gain de fonction



Oncogène

Mutation faux sens

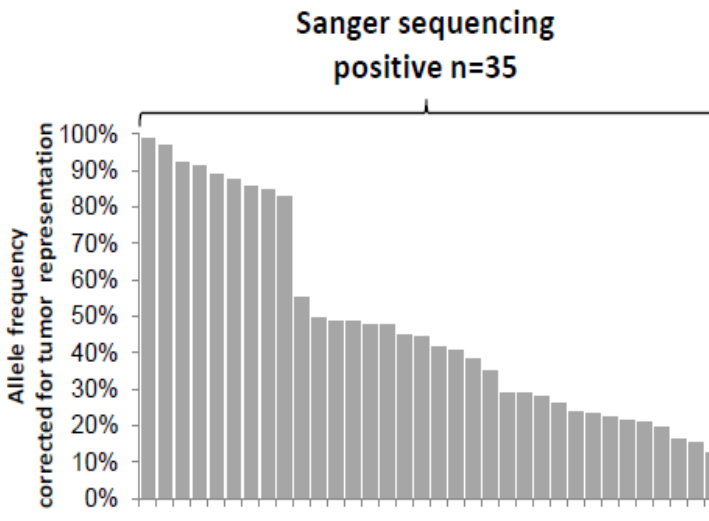
Expression d'une protéine mutée
75% des mutations



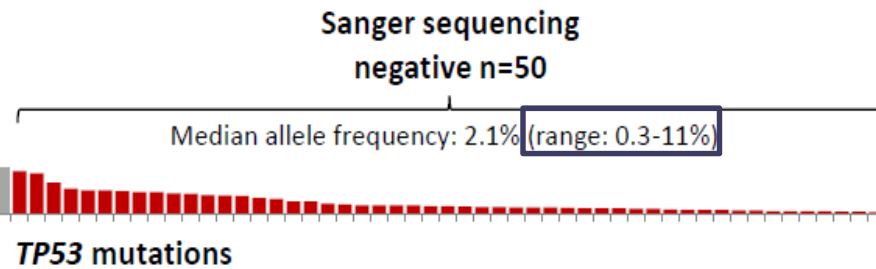
	WT	514	170	29	0
Frameshift	26	9	3	1	0
Missense	125	53	16	2	0
Nonsense	9	4	0	0	0
Splicing	8	3	1	0	0

R Bomben CCR 2021

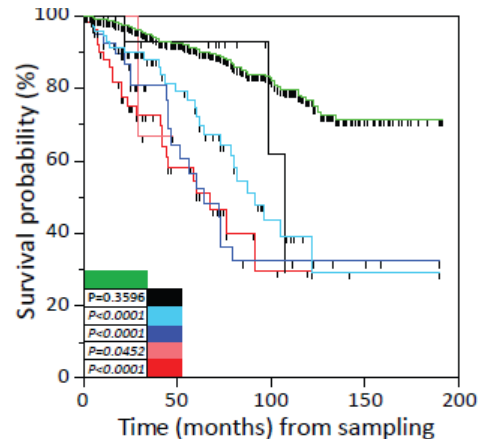
Impact prédictif de la fréquence allélique



Ultra deep-NGS
85 TP53 mutations in 46/309 (15%) CLL



Immunochimiothérapie



wt	1,032	504	168	29	0
del17p_only	20	10	2	0	0
Mut_only <10%	73	36	10	1	0
Mut_only ≥10%	40	16	7	2	0
double_mut <10%	3	0	0	0	0
double_mut ≥10%	52	17	3	0	0

Rossi et al, Blood 2014
Bomben et al, CCR 2021

Clone minoritaire résistant à la fludarabine

Rechercher les mutations de TP53 en NGS avant toute ligne de traitement

Impact des mutations faible VAF sur la survie
Mutation seule ou mutation + deletion même impact

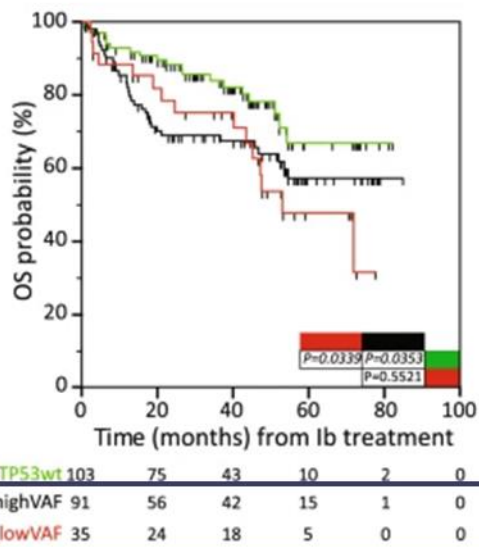
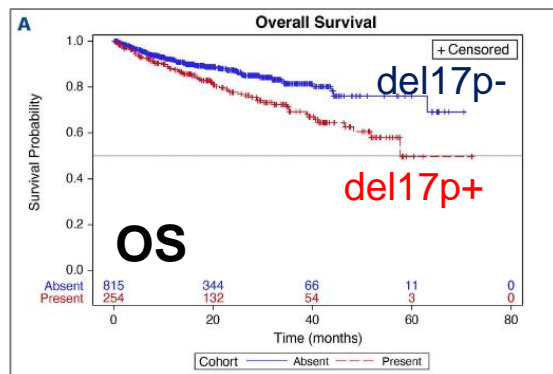
Impact prédictif et thérapeutiques ciblées

Ibrutinib en 1^{re} ligne

Données de registre 2011 à 2019

1 069 patients avec ibrutinib en L1

Patients avec del17p (24 %)



Impact négatif des mutations de TP53 indépendant de la VAF

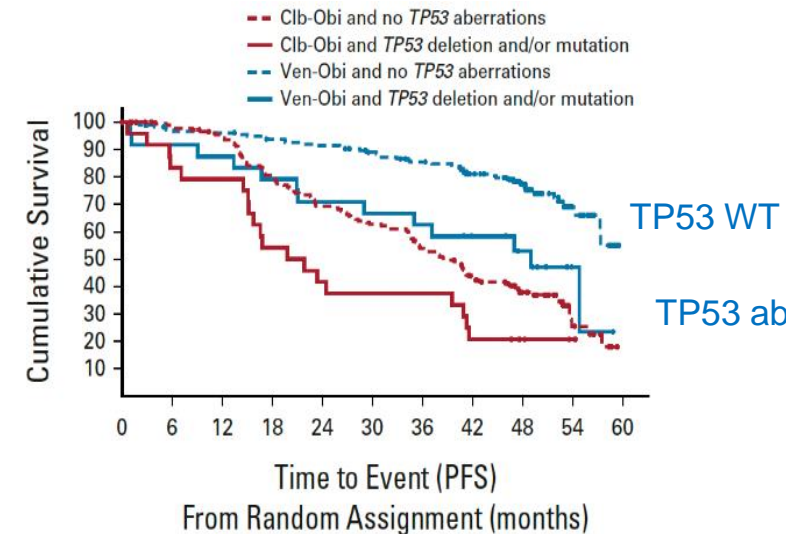
Toujours un facteur prédictif

Bomben R Leukemia 2023

Vénétoclax en 1^{re} ligne

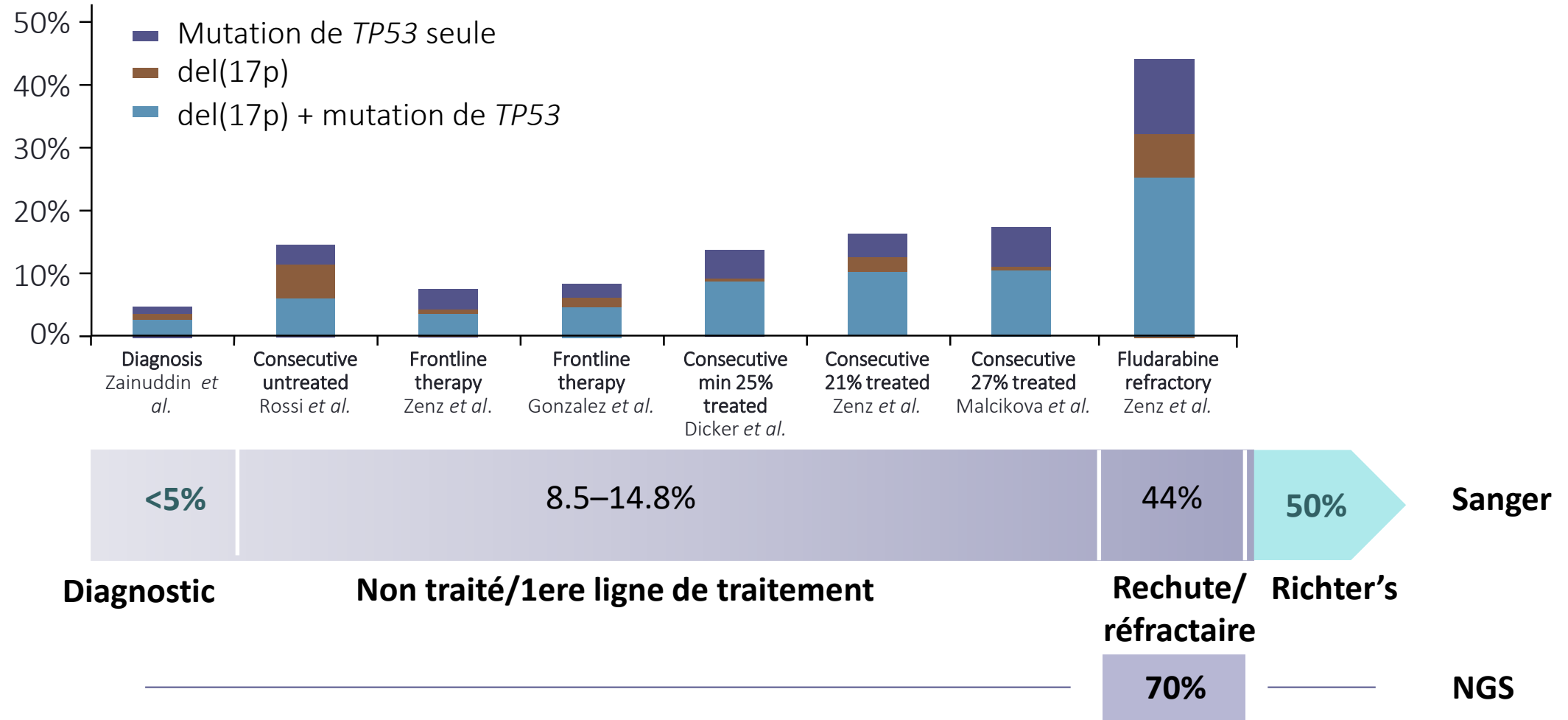
Essai CLL14

432 patients non éligibles FCR
Actualisation avec 4 ans de recul



Mato et al., Haematologica 2022
Sharman et al., Leukemia 2022
Tausch et al., Blood 2020 ; Al Sawaf et al., J Clin Oncol 2021

Fréquence des anomalies de *TP53* avec la progression de la LLC et les lignes de traitement



Malcikova *et al.* 2021

Existe-t-il un profil mutationnel spécifique de la LLC?

Profil mutationnel de la LLC

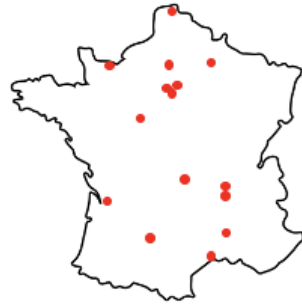
Etude rétrospective GBMHM/FILO LLC

Objectifs de l'étude

- **Créer une base de données des mutations de la LLC avec les données cliniques associées**
- **Identifier un profil mutationnel spécifique de la LLC**
- **Identifier des fonctions spécifiques pour un type de variant**

Profil mutationnel de la LLC

Multicenter recrutement (GBMHM / FILO)



NGS
511 Patients
860 TP53 mutations

Sanger
172 Patients
196 TP53 mutations

FILO_NGS

FILO_Sanger

FILO CLL

UMD_TP53

220 000 TP53 mutations



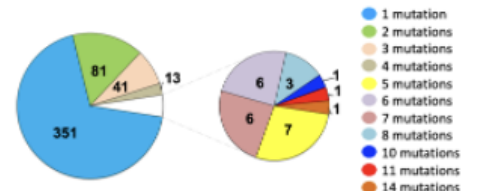
CLL_studies
Data curation



3,808 Patients
5,173 TP53 mutations

UMD_TP53 CLL

Landscape of TP53 mutations in CLL



Distribution des mutations

Comparaison avec les autres cancers

Types de mutations

Hotspot

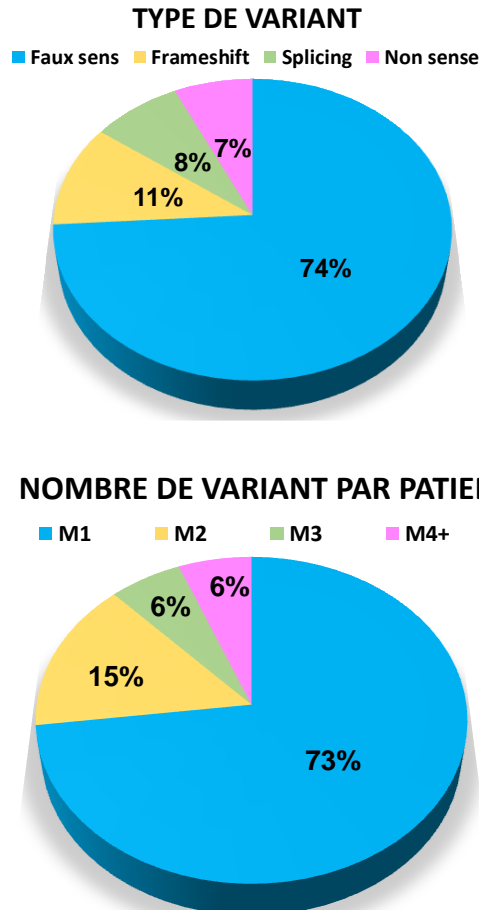
Profil des VAF



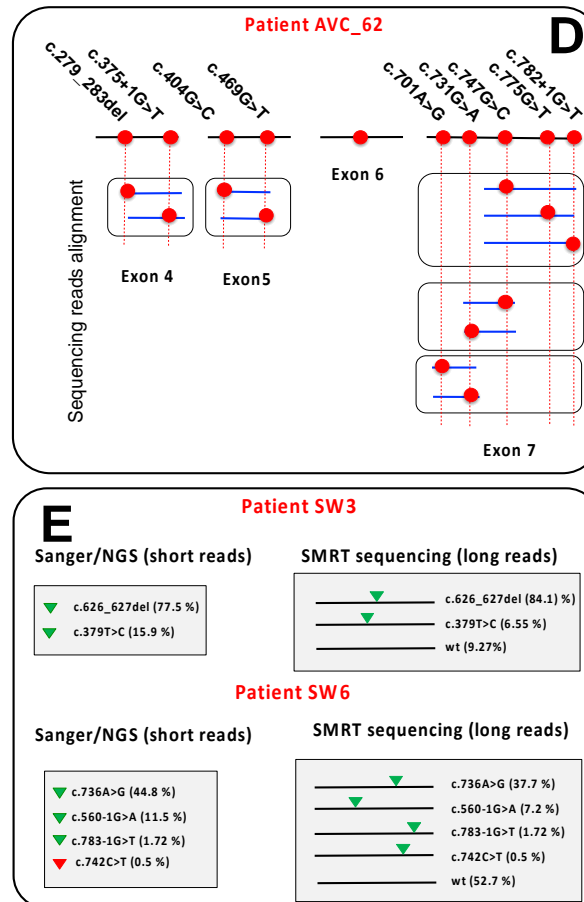
- Fréquence élevée de mutations multiples
- Identification de hotspot de la LLC
 - Faux sens (**Y234C**)
 - indel/splice (**R209fs, c.673-2A>T**)

La base GBMHM/FILO LLC

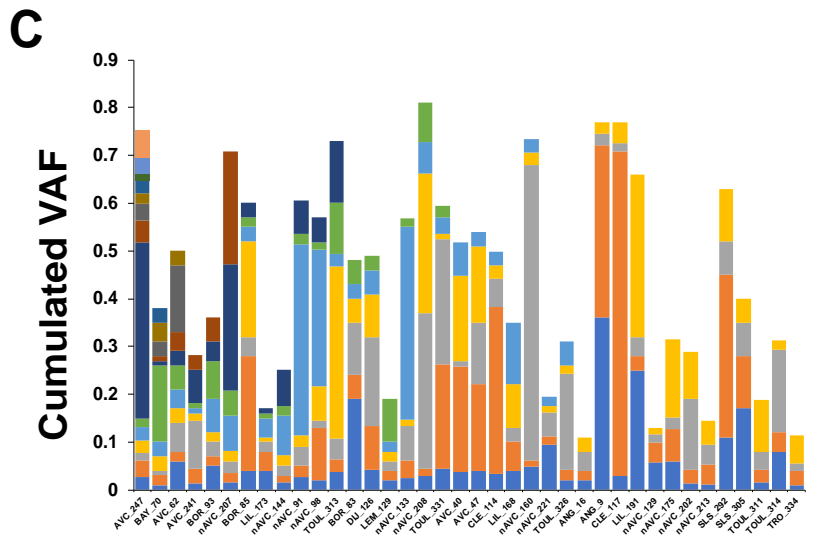
50% des patients sans délétion 17p
56% des patients *IGHV* non muté



Les variants multiples sont sur des allèles différents (clones différents)



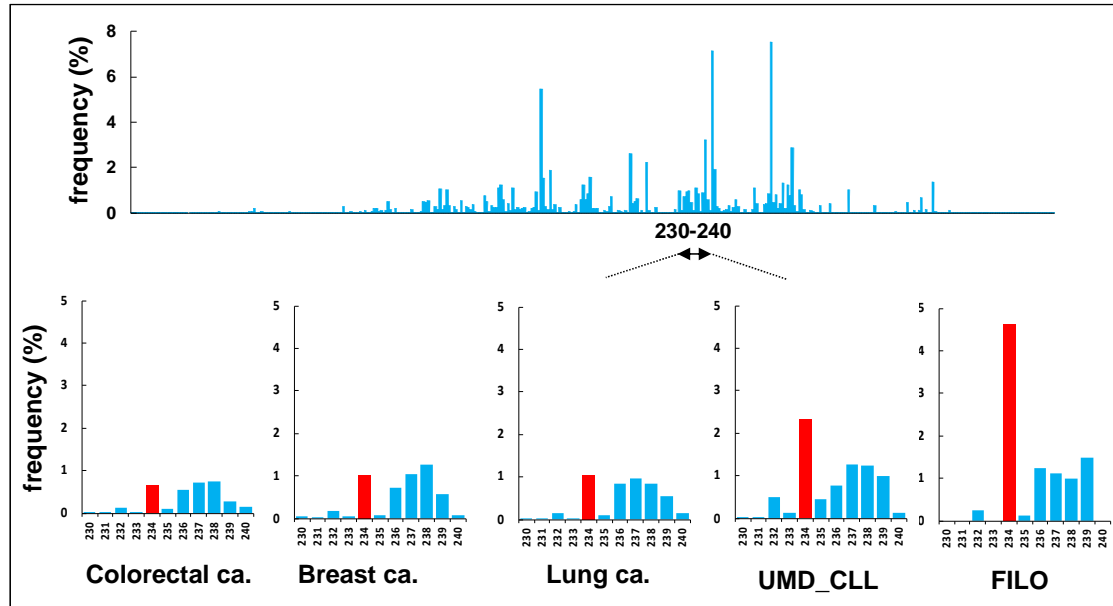
Répartition des VAF



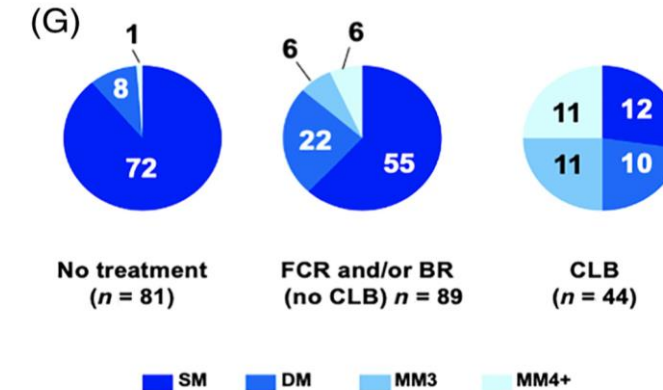
38 patients ont plus de 4 variants
Addiction aux mutations de TP53

Identification d'un hotspot substitution (p.Y234C) chez les patients traités par chloraminophene

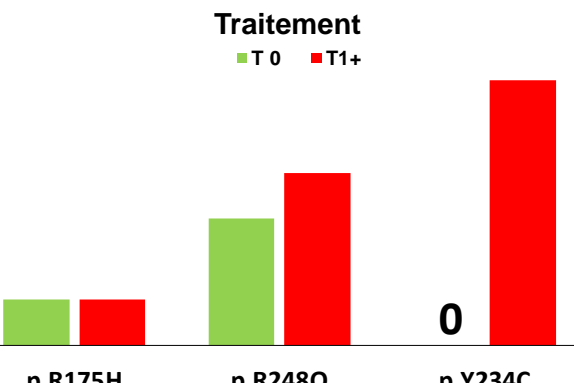
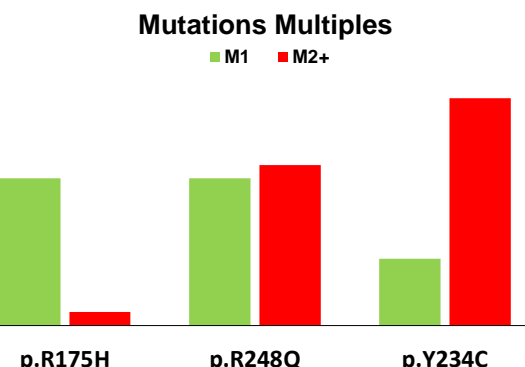
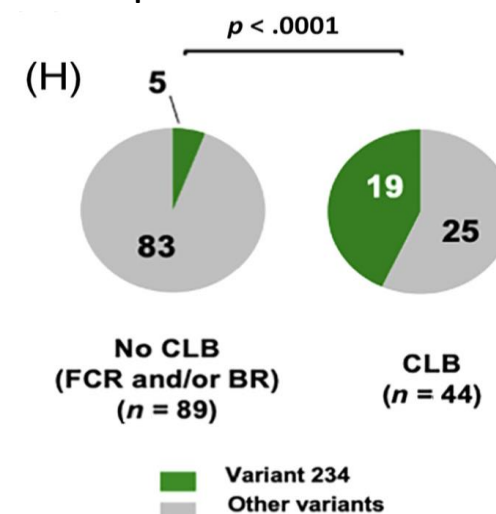
Hotspot Faux sens 234 de la LLC 33 patients/511 (6,4%)



Chloraminophene et mutations multiples

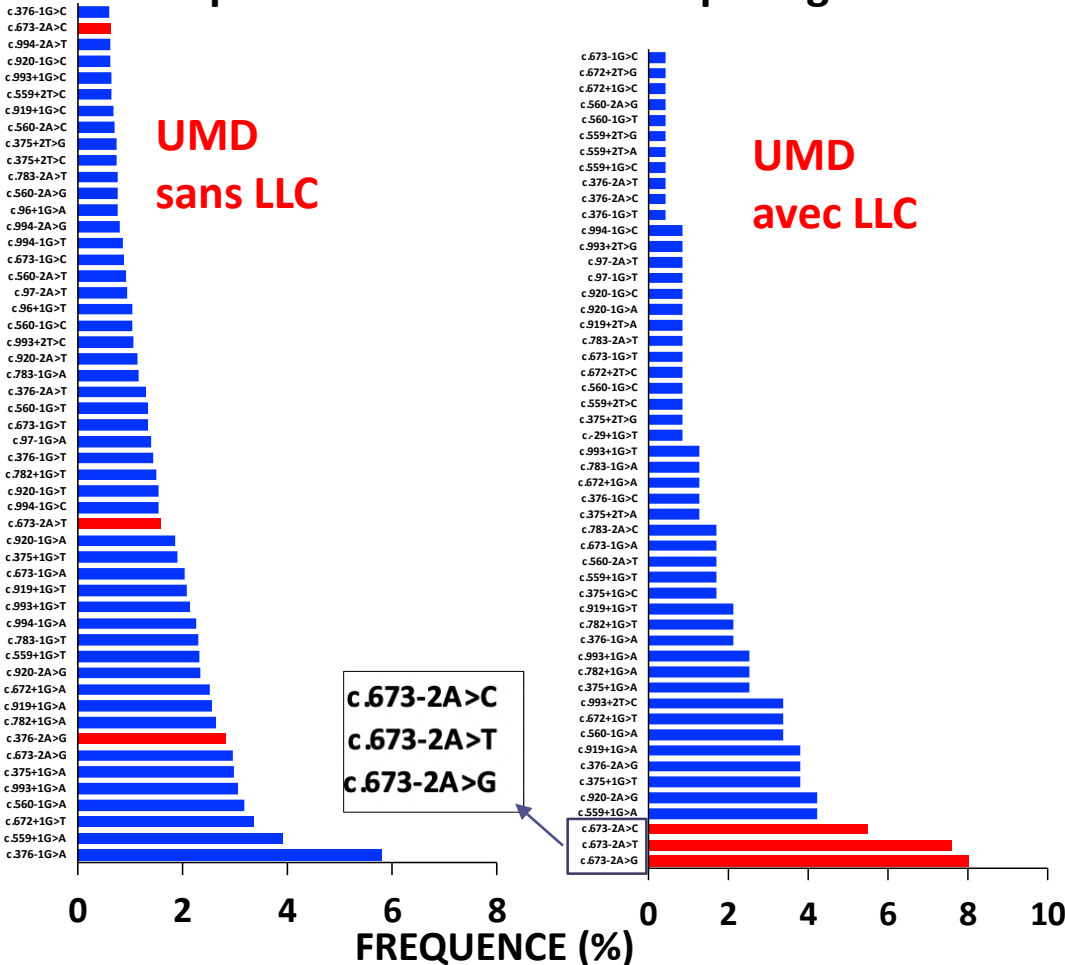


Chloraminophene et variant 234



Identification de variants psi-like et indel de l'exon 6 tronquant p53 spécifiques de la LLC

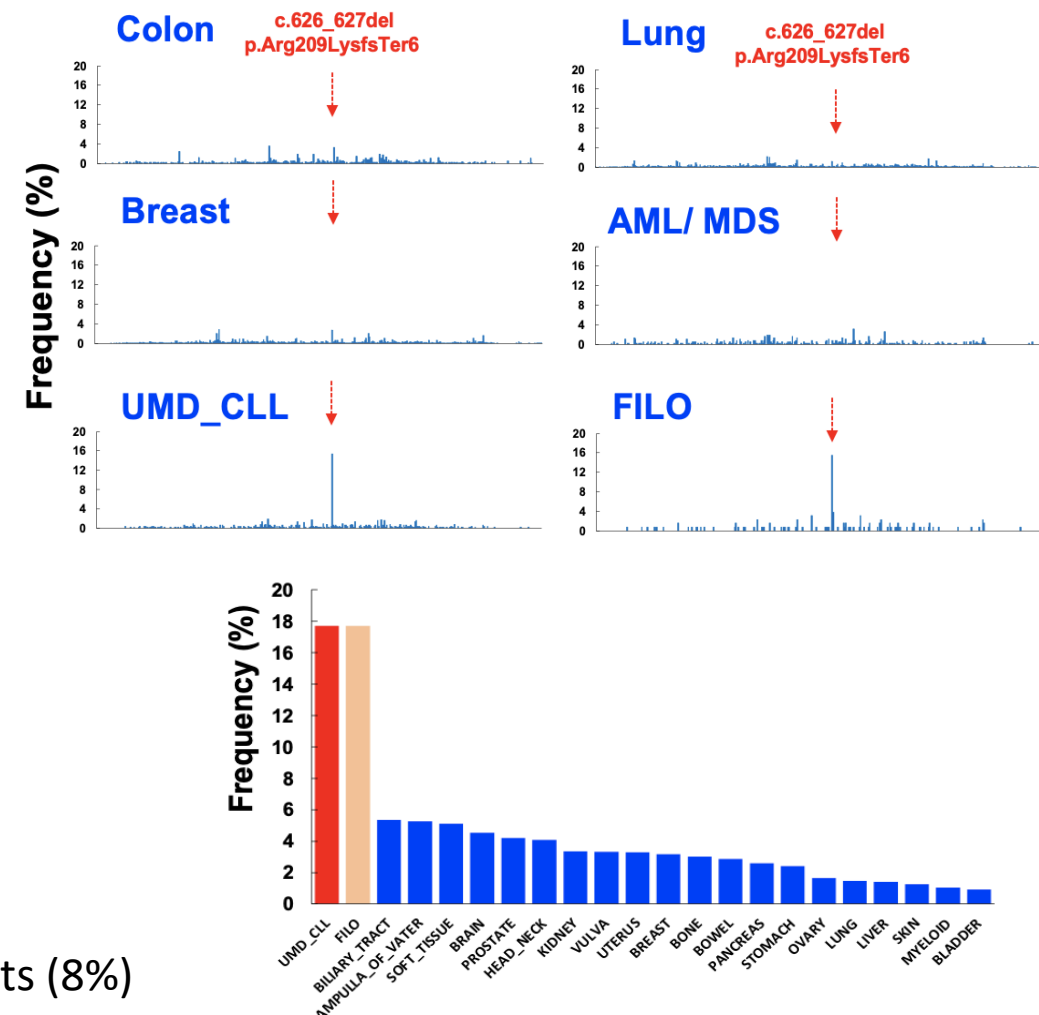
Hotspot variant d'un site de splicing



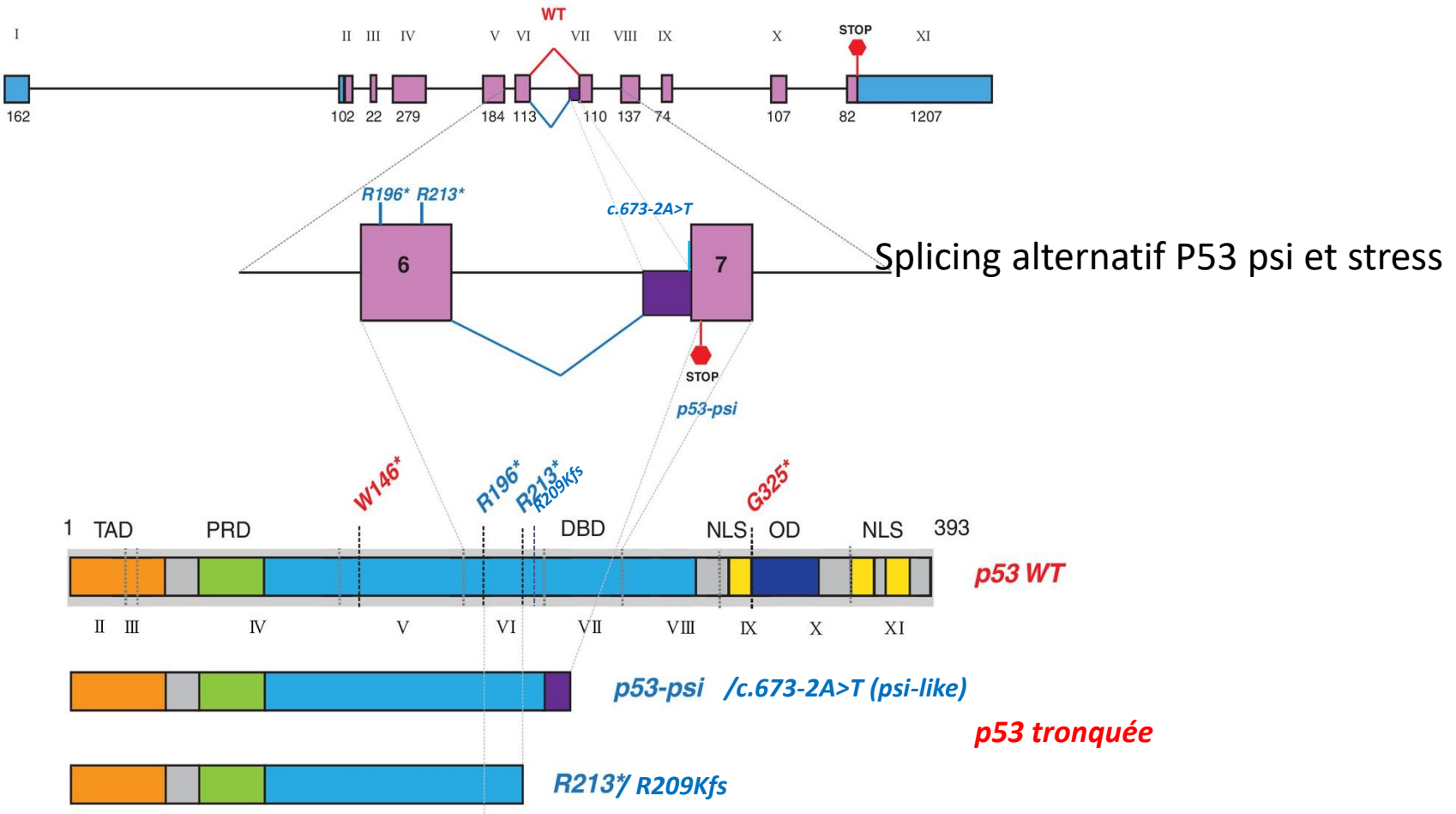
c.673-2A>T (22) Psi-like
R209fs (18)

40 patients (8%)

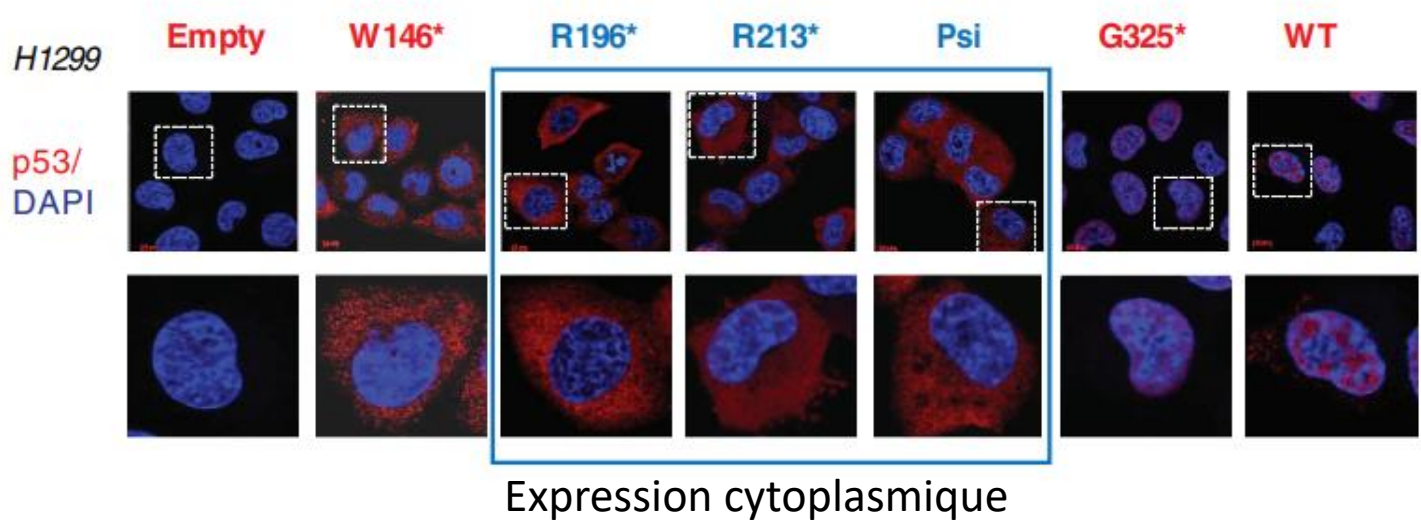
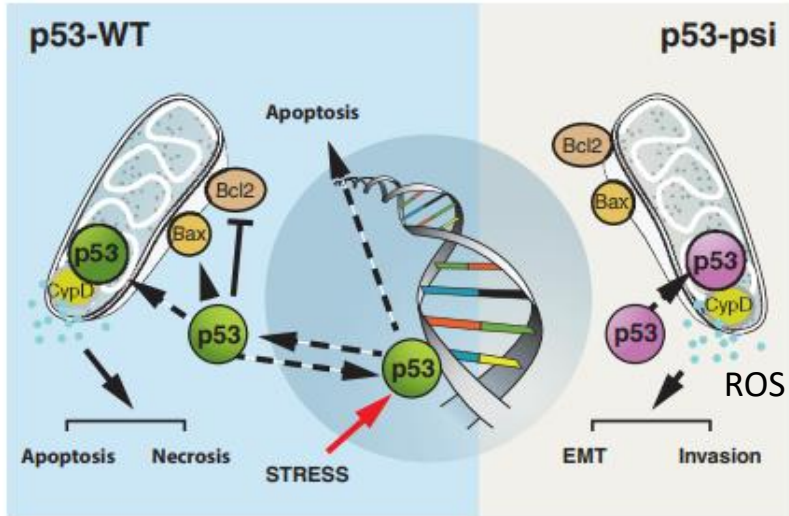
Hotspot indel



Variants psi-like tronquant p53



Fonction des variants de l'exon 6 et psi-like tronquant p53



Perte de l'activité transcriptionnelle
Régulent l'activité de la cyclophiline D mitochondriale
Induisent un programme prométastatique

A confirmer dans la LLC

Senturk S PNAS 2014
Shirole NH Elife 2016

Perspectives

Mise à jour de la base GBMHM variants TP53 LLC poursuivre le recueil
Mise à jour avec les nouveaux traitements

→ Profil des variants identiques? Nouveaux variants?

Projet variants TP53 LAM/MDS (Thierry Soussi)

Partenariat AstraZeneca/GBMHM

Etat des lieux des pratiques de biologie moléculaire pour la recherche de mutation *TP53* en France

Questionnaire pour les biologistes:

Nombre de laboratoires concernés, nombre de patients analysés, technique de recherche des mutations de TP53, seuil P/N, Nombre de patients LLC analysés/mois, panel utilisé, interprétation pathogénicité

<https://docs.google.com/forms/d/1wWUi4fJl-pmB5cCq4-77vhvAGn42soAlcDSBOIEFhs/edit?ts=63d3dff>

Questionnaire pour les cliniciens:

Nombre de patients concernés, interprétation en fonction de la VAF ou P/N, interprétation des variants multiples, en fonction du type de variant, impact sur le choix thérapeutique, association au statut mutationnel des IGHV

<https://docs.google.com/forms/d/1c3D1EuLpIYBaMgtE2LnsMaMx7WtTFQbVZ7Bp1gzbwNQ/edit?ts=63d3dfe6>

Réunion de bilan et partage **entre le GBMHM et AstraZeneca** retour des questionnaires pour identifier les pistes permettant d'optimiser le testing de ces mutations

Mise en place d'une campagne croisée cliniciens/biologistes **sous forme de réunions régionales** autour de l'enjeu de tester TP53 en NGS pour détecter les sous-clones de cellules tumorales et le type de variant avec participation d'un ou plusieurs membres du GBMHM et avec le support de l'équipe AstraZeneca

Remerciements



Membres du GBMHM/Membres du FILO LLC

Grégory Lazarian
Floriane Theves
Myriam Hormi
Rémi Letestu
Virginie Eclache
Giulia Tueur
Audrey Bidet
Pascale Cornillet-Lefebvre
Frédéric Davi
Eric Delabesse
Marie-Hélène Estienne
Pascaline Etancelin
Olivier Kosmider
Sophy Laibe
Florence Nguyen-Khac
Marc Muller
Nathalie Nadal
Dina Naguib
Cédric Pastoret
Stephanie Poulain
Pierre Sujobert
Lauren Veronese
Samia Imache
Valérie Lefebvre
Florence Cymbalista

Thérèse Aurran
Charles Herbaux
Guillaume Cartron
Caroline Dartigeas
Alain Delmer
Jehan Dupuis
Marie Sarah Dilhuydy
Emmanuelle Ferrant
Pierre Feugier
Franck Genevieve
Sophie De Guibert
Romain Guieze
Véronique Leblond
Vincent Levy
Stephane Leprêtre
Fatiha Merabet
Anne-Sophie Michallet
Anne Quinquenel
Sophie Raynaud
Daniel Re
Catherine Thieblemont
Olivier Tournillhac
Xavier Troussard
Malgorzata Truchan-Graczyk
Lise Willems
Loic Ysebaert
Jean-Marc Zini.

Thierry Soussi

UMD data base
<https://p53.fr/tp53-database>
Seshat data base
<http://vps338341.ovh.net/>

Les techniciens

